

D 类功率放大器在水声 发射机中的应用

孙思萍

(国家海洋局海洋仪器研究所)

1984年1月24日收到

为了减小水声功率发射机的能源消耗,提高工作效率,用较小功耗的晶体管发射较大功率,采用晶体管 D 类功率放大器较为理想。实际应用中已得到了充分的证明。本文以实用电路为例介绍了电路基本特点和调试方法。

一、前言

水声功率发射机在一切水声设备中是不可 缺少的。随着电子技术的发展对其要求也越来 越高,如输出功率大,体积小,效率高,工作稳定 可靠,造价低等。水声发射机一般由信号源、控 制电路, 功率推动级, 功率放大级和水声换能 器组成。要达到输出功率大,效率高,则功率 放大级成为关键的一环。前几年我们研制的水 下声信标, 在功率放大级采用乙类或甲乙类电 路. 功率管工作在伏安特性曲线的有源区,集 电极电流和电压受基极注入信号的控制作相应 的变化, 这样在工作时晶体管要消耗相当一部 分功率。就是在静态时,晶体管也要消耗一定 的功率。这对提高放大器的效率受到了很大的 限制,作为一个水下声信标,在电源能源有限的 情况下,要长期在水下工作就变得很困难.作为 大功率发射机,选用大功耗的管子也是问题,我 们在水声发射机中采用了D类功率放大器。简 化了电路,提高了效率,节约了能源,使水下信 标长时间工作于水下成了现实; 使大功率管的 功耗减到最小、提高了电路工作的可靠性。

二、电路工作原理

D类放大器的主要特征是使用矩形脉 **应**用声学 冲^[1]。图1为水下声信标机的功率推动级及功率放大级电原理图。BG₄、BG₅组成推挽式电流开关型D类功率放大器。BG_{2.3}、是推动级。BG₁为推动前级。在没有信号来时,所有管子都处于截止状态。当信号来时,BG₁以开关的形式将信号传递给推动级。推动级以具有一定能量的矩形波激励功率放大级。这样D类功率放大器就将晶体管这个有源器件作为接通和断开的开关使用。晶体管工作在伏安特性曲线的饱和压入中,使晶体管的功率损耗降低到最低限度。提高了放大器的能量转换效率。

三、电路器件的选取及电路调试

晶体管 D 类功率放大器的显著优点就是晶体管集电极的高效率。效率由下式决定^[3]:

$$\eta = \frac{V_{cc} - V_{ces}}{V_{cc}}$$

式中: V_{cc} 为电源电压, V_{cc} 为晶体管饱和压降. 从式中可以看出,随着电源电压的升高(u_{cc} 为恒定,很小.)电路的效率可以很高. 典型的可以超过90%^[2]. 要达到这个水平,设计调试电路时应注意以下几点. 1. 欲使晶体管的损耗减到最小,提高电路效率,选择功放级晶体管是关键. 图 1 电路采用饱和压降小, 开关特性好的国产晶体管 3 DD8F (或 3DD21D). 在

. 43 .

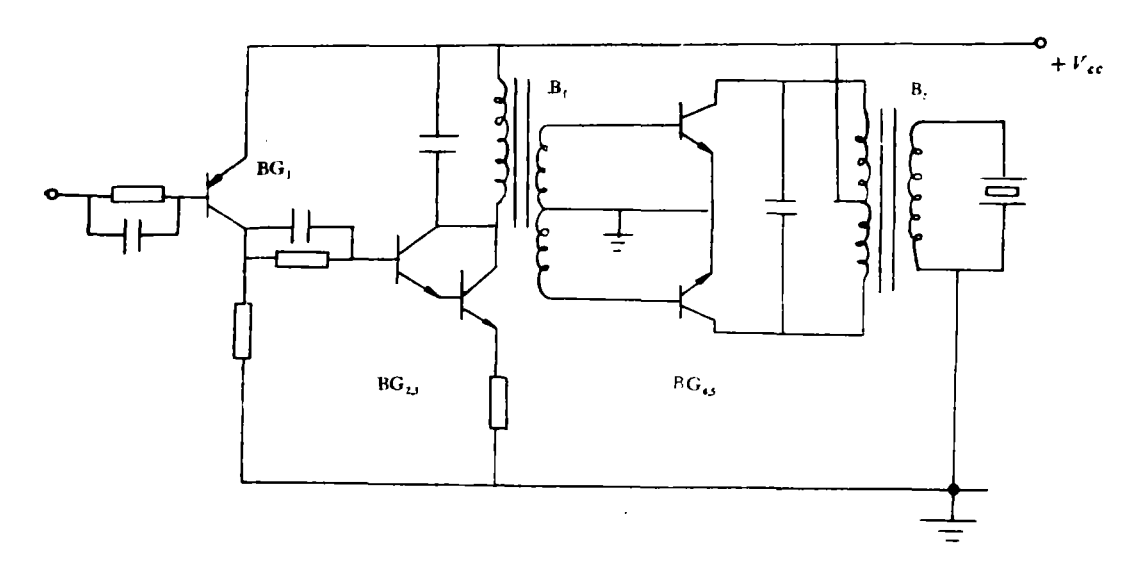


图 1 水下声信标机的功率推动级和功率放大级电原理图

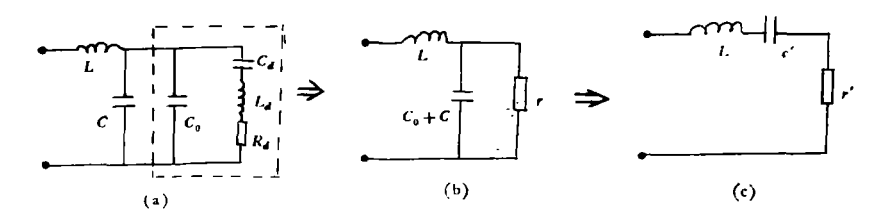


图 2 换能器匹配网络

供电电压为 40.5 V,输入电功率为 220 W,输出电功率为200 W时,晶体管集电极的损耗不到20 W (因变压器有一定的损耗)。 所以晶体管无需加散热片。 2. D类放大器的推动级必须具有较大的输出功率。 所以电路采用了两只 3 DG 27 D 组成复合管。 这样有效地提高了输入阻抗,增大了推动功率。 3. 输入输出变压器对提高效率影响也较大。 本电路采用脉冲变压器。磁性材料选取 MXD-2000 罐形磁芯。

水声换能器的阻抗特性较复杂。每一个换能器有不同的特性。要使电功率有效地转换为声功率,对换能器进行匹配是必要的。图 2 是换能器的匹配网络。(a) 中虚线内为换能器的等效电路。L,C 为配谐电感与电容。(b) 等效于(a).进行一下转换,则变为(c) 的形式,LC' 组成串联谐振。为了使电路具有较高的转换效率,Q应取得较低,但又不能太低,太低波形将受到影响。取Q=2 较为合适。

这时有
$$L = \frac{Qr'}{\omega}, C' = \frac{1}{\omega r'Q}$$

C。在换能器的参数中是给定的,从而可以求出 C来,一般在电路的调试中定。<u>匹配网络在换</u> 能器短路(漏水),开路时,可以对电路进行保 护,不致使功率管损坏。提高了电路的可靠性。

四、输出功率的测试

图 3 为功率测试电原理图。 其中 R、r、和

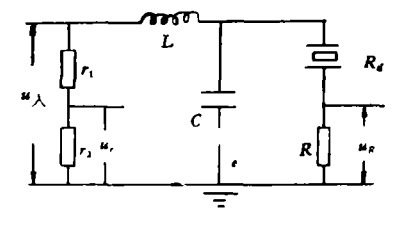


图 3 功率测试电原理图

(下转第42页)

4 卷 4 期

. 44 .

几点结论:

- 1. 激光干涉仪测振法容易获得较高的绝对 灵敏度,是测量微小振动位移的强有力工具。
- 2. 简单引入低频相位调制信号,可使结构 简化,适宜于快速测量相对位移振幅分布的场 合。
- 3. 由于公式(11)中不包括激光强度项,所以激光强度的起伏,样品表面反射系数的变化,不影响测量结果。

在实验装置的建立过程中, 王强、李文峰、 庄国胜同志参加了系统组装及测量工作。王顺 娣、李有志、田文英同志提供了测试样品及光学 元件。

参 考 文 献

- [1] 徐世良等,电声技术,3(1978),33.
- [2] Y. Tsuzuki, et al., Proc. of the 25th Annual Freq. Cont. Symp., April 26-28, 1971, 113-117.
- [3] 张淑仪等,南京大学学报(自然科学版),2(1978),31。
- [4] 李德荣等,压电与声光,2(1982),14.
- [5] G. E. Moss, et al., Appl. Opt., 10-11 (1971), 2495:
- [6] K. Iijima, et al., Proc. of the 30th Annual Freq. Cont. Symp., 2-4 June, 1976, 65-70.
- [7] W. M. J. Hassen and Th. Kwaaitaal, Rev. Sci-Instrum., 47 -4 (1976), 434.
- [8] H. A. Deferrari, J. Acous. Soc. Am., 42-5 (1967)
- [9] 吴凤仪,电测与仪表,10(1981),21.
- [10] H. U. Schwarzenbach, et al., Appl. Phys. Lett., 38-11 (1981), 854.

(上接第44页)

 r_2 为无感电阻。 r_1 和 r_2 上的电压,反映了换能器上的电压,是功率级的输出电压、 $r_1=10R_1$, $r_2=10R(R-\text{般取 }1Q)$ 。 所以 $u_r=u_R$ 。利用利萨如图形可以判别 u_r 与 u_R 的电压和电流的相位 $\cos \varphi$,即流经换能器的电流和电压的相位. 这时换能器所获得的功率为:

$$P = \frac{u_{\lambda} u_{R}}{8R} \cos \varphi$$

其中: u,、u_R 均为峰峰值.

五、结 束 语

经过对发射电功率为几十瓦到几百瓦的发

射机的实验研究,认为晶体管 D类功率放大器 在水声功率发射机中应用较为理想. 我们研制 的声学应答释放器中信标发射机采用了 D类功 率放大器电路。用 40.5 V "三五牌"高能碱性电 池供电,充油恒压圆管换能器(方向性: 水平 360°,垂直 180° 半空间辐射。灵敏度: 30 μV/ μbar)发射. 在南京工学院消声水池中测试声 源级为 97 dB (参考级为 1 μbar).

参考文献

- [1] 冯乘铨,无线电广播发送设备近几年来的某些发展,科 学出版社,1978年第一版,第一章.
- [2] W. J. Chudobiak; Journal of Solidstate circuits, SC-4-1 (1969), 26.

· 42 ·